

УДК 533.6.011.8:621.41.6

О ГАЗОВЫХ СИЛАХ, ДЕЙСТВУЮЩИХ НА ВРАЩАЮЩИЕСЯ В ВАКУУМИРОВАННЫХ ПОЛОСТЯХ ШАРОВЫЕ И ДИСКОВЫЕ РОТОРЫ

В. П. ИВАНОВ, Н. К. ШАВИНА

(Горький)

Из соображений подобия и симметрии получены формулы для расчета газовых сил и их моментов, действующих на шаровой и дисковый роторы, вращающиеся в сильно разреженной газовой среде в шаровой и цилиндрической полостях соответственно. Коэффициенты этих формул вычислены на ЭВМ; способ расчета основан на математическом моделировании случайного движения молекул газа [1]. Шаровой ротор неустойчив по отношению к смещениям вдоль оси вращения: при «поперечных» отклонениях возникает восстанавливающая сила с противоположной отклонению составляющей. В цилиндрических полостях малой высоты газовые силы стремятся совместить ось диска с осью полости; этот эффект уменьшается при увеличении высоты полости.

1. О подобии свободно-молекулярных течений газа. Свободно-молекулярное течение газа описывается уравнением Больцмана и соответствующими начальными и граничными условиями. Уравнение Больцмана принимает в этом случае вид

$$\frac{\partial f}{\partial t} + \xi_i \frac{\partial f}{\partial x_i} + \frac{X_i}{m} \frac{\partial f}{\partial \xi_i} = 0 \quad (1.1)$$

Здесь $f(t, \mathbf{x}, \boldsymbol{\xi})$ — функция распределения молекул газа по скоростям, зависящая от времени, координат и скоростей молекул, \mathbf{X} — сила, действующая на молекулу, m — масса молекулы. На стенках задается функция $W(t, \mathbf{v}, \mathbf{v}')$ плотности распределения вероятностей скоростей $\mathbf{v}' = \boldsymbol{\xi}' - \mathbf{v}$ молекул, отраженных стенкой, причем до соударения молекулы двигались со скоростью $\mathbf{v} = \boldsymbol{\xi} - \mathbf{v}$ относительно стенки, где \mathbf{v} — скорость стенки. В единицу времени на единицу площади стенки со скоростью $\boldsymbol{\xi} \div \boldsymbol{\xi} + d\boldsymbol{\xi}$ приходит поток молекул, равный $f(t, \mathbf{x}, \boldsymbol{\xi}) (\boldsymbol{\xi} - \mathbf{v}) n d\boldsymbol{\xi}$. Тогда

$$f(t, \mathbf{x}, \boldsymbol{\xi}') = - \int_{(\boldsymbol{\xi} - \mathbf{v}) n < 0} f(t, \mathbf{x}, \boldsymbol{\xi}) W(t, \boldsymbol{\xi} - \mathbf{v}, \boldsymbol{\xi}' - \mathbf{v}) \frac{(\boldsymbol{\xi} - \mathbf{v}) n}{(\boldsymbol{\xi}' - \mathbf{v}) n} d\boldsymbol{\xi} \quad (1.2)$$

где n — нормаль к стенке. В стенках могут быть отверстия, соединяющие рассматриваемый объем с соседними, на поверхности которых задается поток молекул, входящих в рассматриваемый объем

$$f(t, \mathbf{x}, \boldsymbol{\xi}) (\boldsymbol{\xi} n) = f_1(t, \mathbf{x}, \boldsymbol{\xi}) \quad (1.3)$$

Начальные условия запишутся в виде

$$f(t_0, \mathbf{x}, \boldsymbol{\xi}) = f_2(\mathbf{x}, \boldsymbol{\xi}) \quad (1.4)$$

Функции f_1 и f_2 заданы.

Для полного описания системы достаточно задать характерные величины размеров L и скорости V стенок, концентрации N и скорости U молекул газа, времени θ .

Следуя [2], перейдем в формулах (1.1) — (1.4) к безразмерным переменным

$$\langle t \rangle = t/\theta, \quad \langle x_i \rangle = x_i/L, \quad \langle v_i \rangle = v_i/V, \quad \langle \xi_i \rangle = \xi_i/U, \quad \langle X_i \rangle = X_i/X$$

С учетом соотношений $\langle W \rangle = WU^3$ и $\langle f \rangle = f/\Phi$, где $\Phi = Nu^2$, получаемых соответственно из условий нормировки

$$\int W(\mathbf{v}, \mathbf{v}') d\mathbf{v}' = 1, \quad \int f dx d\xi \sim NL^3$$

соотношения (1.1) — (1.4) запишутся в виде (скобки у безразмерных величин опущены)

$$\frac{L}{U\theta} \frac{\partial f}{\partial t} + \xi_i \frac{\partial f}{\partial x_i} + \frac{XL}{mU^2} X_i \frac{\partial f}{\partial \xi_i} = 0 \quad (1.5)$$

$$f(t, \mathbf{x}, \xi) = - \int_{(\xi-\mathbf{v}) \cdot \mathbf{n} > 0} f(t, \mathbf{x}, \xi) W\left(t, \frac{U}{V} \xi - \mathbf{v}, \frac{U}{V} \xi' - \mathbf{v}\right) \times \\ \times \left(\frac{U}{V} \xi - \mathbf{v}\right) \mathbf{n} \left[\left(\frac{U}{V} \xi' - \mathbf{v}\right) \mathbf{n}\right]^{-1} d\xi \quad (1.6)$$

$$f(t, \mathbf{x}, \xi) (\xi \cdot \mathbf{n}) = \frac{f_1}{\Phi U} \quad (1.7)$$

$$f(t_0, \mathbf{x}, \xi) = \frac{f_2}{\Phi} \quad (1.8)$$

Уравнения (1.5) — (1.8) одинаковы для различных газовых систем, если одинакова геометрия этих систем, равны начальные функции распределения молекул газа по скоростям и координатам, а также одинаковы числа Струхалия $Sh = L/U\theta$ и Фруда $Fr = mU^2/XL$, отношения U/V и относительные потоки газа, поступающего в систему.

Для подобия стационарных свободномолекулярных потоков в отсутствие массовых сил необходимо подобие условий на границах потока и постоянство отношения U/V . Это утверждение справедливо и для периодических потоков, если для задания периодичности достаточно задания характерных размера и скорости стенок (например, в случае вакуумных механических турбомолекулярных насосов).

Главный вектор \mathbf{F} газовых сил, действующих на стенку, равен импульсу, переносимому молекулами газа на поверхность σ стенки в единицу времени

$$\mathbf{F} = m \int_{\sigma} \left\{ \int \xi (\xi \cdot \mathbf{n}) f(\mathbf{x}, \xi) d\xi - \xi' (\xi' \cdot \mathbf{n}) f(\mathbf{x}, \xi') d\xi' \right\} d\sigma \quad (1.9)$$

где \mathbf{n} — нормаль к $d\sigma$ (формула записана для стационарного режима).

Пусть величина $F = F_0$ вычислена для подобной газовой системы, описываемой характерными параметрами L_0, V_0, N_0, m_0 . Переходя в формуле (1.9) к безразмерным переменным, подставляя

$$L = lh_0, \quad V = vV_0, \quad N = nN_0, \quad m = \mu m_0 \quad (1.10)$$

можно получить с учетом соотношения $f = nv^{-3}f_0$ формулу подобия для вектора газовых сил

$$\mathbf{F} = \mu n v^2 l^2 \mathbf{F}_0 \quad (1.11)$$

Аналогичную формулу можно получить для момента сил

$$M = \mu n v^2 l^3 M_0 \quad (1.12)$$

2. Исходные соотношения. При медленных перемещениях ротора в полости, когда характерное время изменения положения и скорости вращения ротора намного превышает время $\tau \sim L/U_0$ релаксации сильно разре-

женного газа, поток газа квазистационарен, газовые силы определяются положением и скоростью ротора в тот же момент времени, и движение ротора описывается уравнениями механики, например, уравнениями Эйлера [3].

В случае малых линейных и угловых отклонений ротора от состояния равномерного вращения в центре полости выражения газовых сил и их моментов можно представить в виде ряда и ограничиться линейными членами

$$\begin{aligned} F_\alpha &= F_{0\alpha} + \left(\frac{\partial F_\alpha}{\partial x_k} \right)_0 x_k + \left(\frac{\partial F_\alpha}{\partial \dot{x}_k} \right)_0 \dot{x}_k \\ M_\alpha &= M_{0\alpha} + \left(\frac{\partial M_\alpha}{\partial x_k} \right)_0 x_k + \left(\frac{\partial M_\alpha}{\partial \dot{x}_k} \right)_0 \dot{x}_k \end{aligned} \quad (2.1)$$

где F_α , M_α — проекции главного вектора и главного момента газовых сил на координатные оси, x_k — составляющие линейного и углового смещений ротора относительно полости.

Ниже исследована зависимость сил и их моментов только от величин смещений. Коэффициенты $(\partial F/\partial x_k)_0$ выражений (2.1) вычислялись на ЭВМ, методика вычислений описана в работе [1] и основана на моделировании случайного движения молекул газа, в процессе которого определяется среднее воздействие молекул газа на ротор¹. Для вычисления коэффициентов $(\partial F_\alpha/\partial x_k)_0$, $\alpha = 1, 2, 3$ при определенном $k = k_0$ движение молекул моделировалось в системе, в которой ротор, вращающийся с постоянной угловой скоростью, смещен относительно полости на малую величину x_{k_0} , а все остальные смещения равны нулю.

Аналогично коэффициенты $(\partial F_\alpha/\partial \dot{x}_k)_0$ можно вычислить при моделировании движения молекул в системе, где ротор вращается в центре полости и обладает дополнительной скоростью, равной \dot{x}_k .

С использованием соображений симметрии выражения для газовых сил и их моментов, действующих на шаровой ротор, можно записать в виде (ось z направлена вдоль оси вращения ротора)

$$\begin{aligned} F_x &= \left(\frac{\partial F_x}{\partial y} \right)_0 y, & F_y &= \left(\frac{\partial F_y}{\partial y} \right)_0 y, & F_z &= \left(\frac{\partial F_z}{\partial z} \right)_0 z \\ M_x &= M_y = 0, & M_z &= M_{z0} \end{aligned} \quad (2.2)$$

Например, в выражениях для F_x и M_x постоянные слагаемые $F_{x0} = M_{x0} \equiv 0$, так как в неотклоненном положении газовые силы вызывают только торможение вращения ротора. Слагаемые $(\partial F_x/\partial x)_0$, $(\partial M_x/\partial x)_0$ отсутствуют в силу выбора системы отсчета, в которой $x \equiv 0$. При смещении центра полости вдоль оси y газовые потоки (и газовые силы, действующие на поверхность ротора) симметричны относительно плоскости xz , следовательно, $F_z \equiv 0$, $(\partial M_x/\partial y)_0 = 0$, так как $M_x = -yF_z = 0$. При смещении центра полости вдоль оси z из соображений симметрии $F_x = F_y \equiv 0$, так что $(\partial F_x/\partial z)_0 = 0$; коэффициент $(\partial M_x/\partial z)_0 = 0$ в силу $M_x = -zF_y \equiv 0$.

Воздействие газа на дисковый ротор рассчитывалось в случае, когда центры диска и цилиндрической полости совпадают. Из соображений симметрии можно получить

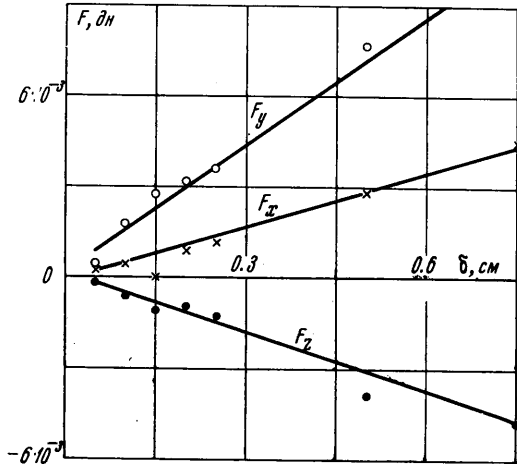
$$\begin{aligned} F_x &= F_y = F_z = 0 \\ M_x &= \left(\frac{\partial M_x}{\partial \theta} \right)_0 \theta, & M_y &= \left(\frac{\partial M_y}{\partial \theta} \right)_0 \theta, & M_z &= M_{z0} \end{aligned} \quad (2.3)$$

¹ Описание методики моделирования для сильно разреженного газа приведено также в работах [4-9].

В табл. 2 приведены значения коэффициентов $(\partial M_x / \partial \theta)_0$, $(\partial M_y / \partial \theta)_0$, в $\text{дн}\cdot\text{см} / \text{град}$, M_{z_0} в $\text{дн}\cdot\text{см}$ выражений (2.3) момента газовых сил, действующих на дисковый ротор. Коэффициенты вычислены для различных относительных размеров R/r , H/r и скоростей v/v диска (r , R — радиусы диска и полости соответственно, H — высота полости, $v = 2\pi f$) при значениях характерных параметров, равных $L_0 = r = 3.5 \text{ см}$, $V_0 = v = 475 \text{ м/сек}$, $N_0 = 3.24 \cdot 10^{12} \text{ моль/см}^3$, $m_0 = 4.65 \cdot 10^{-23} \text{ г}$, $\theta = 5^\circ$.

Результаты расчета показали, что при уменьшении относительных размеров полости увеличиваются газовые силы, тормозящие вращение ротора. Это объясняется разбросом молекул по краям полости, где они наиболее интенсивно тормозят вращение ротора. С увеличением размеров полости возрастает длина пробега молекул газа от стенки к стенке, концентрация газа в полости выравнивается. Концентрация выравнивается еще и потому, что молекулы относительно реже сталкиваются с поверхностью ротора.

Когда размеры полости намного превышают размеры ротора, возмущающим действием ротора можно пренебречь и считать, что молекулы газа приходят на поверхность ротора с равномерной плотностью и обладают максвелловским распределением скоростей. В этом случае воздействие газа на ротор сводится только к торможению его вращения. Величину соответствующего момента M_z можно подсчитать путем суммирования воздействий молекул по поверхности ротора (при отражении от поверхности ротора каждая молекула получает средний импульс, равный mv , где v — линейная скорость ротора в точке соударения). Имеем



Фиг. 2

Таблица 2

	1	2	3	4	5	6	7
R/r	1.43	1.43	1.43	1.43	1.43	1.43	1.43
H/r	0.46	0.46	0.46	0.46	0.46	0.46	0.46
v/v	0.046	0.093	0.14	0.19	0.23	0.28	0.37
$(\partial M_x / \partial \theta)_0$	-0.0098	-0.0080	-0.013	-0.011	-0.011	-0.030	-0.032
$(\partial M_y / \partial \theta)_0$	0.015	0.024	0.024	0.026	0.028	0.048	0.060
M_{z_0}	-0.55	-1.16	-2.06	-2.22	-2.82	-3.38	-4.44
M	$2 \cdot 10^5$	$2 \cdot 10^5$	$2 \cdot 10^5$	$2 \cdot 10^5$	$2 \cdot 10^5$	$2 \cdot 10^5$	$2 \cdot 10^5$
	8	9	10	11	12	13	14
R/r	1.43	1.43	1.43	1.43	1.43	1.43	1.43
H/r	0.46	2.86	2.86	2.86	8.57	8.57	0.46
v/v	0.46	0.14	0.28	0.46	0.14	0.28	1.99
$(\partial M_x / \partial \theta)_0$	-0.032	0.068	0.090	0.12	0.17	0.22	-0.04
$(\partial M_y / \partial \theta)_0$	0.096						0.10
M_{z_0}	-5.60	-1.74	-3.38	-5.80	-1.66	-3.21	-22.60
M	$2 \cdot 10^5$	$2 \cdot 10^5$	$2 \cdot 10^5$	$2 \cdot 10^5$	$2 \cdot 10^5$	$2 \cdot 10^5$	$1.5 \cdot 10^5$

для шарового ротора

$$M_z = -\frac{1}{3}\pi^2 m n f r^4 \quad (3.1)$$

для дискового ротора

$$M_z = -2\pi^2 m n f r^4 \quad (3.2)$$

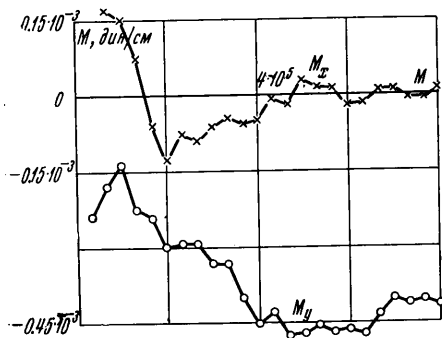
для цилиндрического ротора

$$M_z = -2\pi^2 m n f r^3 (r + 2h) \quad (3.3)$$

Здесь $n = \frac{1}{4}v_0 N_0 = 4.19 \cdot 10^{16}$ — число ударов молекул о единицу поверхности стенки в единицу времени. Подставляя в формулу (3.1) параметры третьего варианта табл. 1, в формулу (3.2) — третьего варианта табл. 2, в формулу (3.3) — параметры системы, описанной в примере № 3 работы [1] ($f = 600$ об/сек), получаем величины момента торможения соответственно для шарового, дискового и цилиндрического роторов, вращающихся в неограниченном пространстве (в дн.см)

$$M_z = -0.195, \quad M_z = -5.72,$$

$$M_z = -1520$$



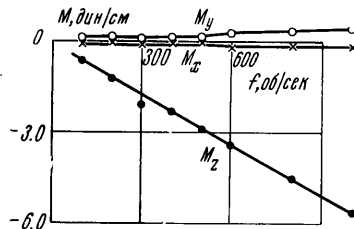
Фиг. 3

При отклонении шарового ротора от центра полости в направлении, перпендикулярном оси вращения ротора, газовые силы стремятся уменьшить величину отклонения (y и F_y имеют одинаковые знаки). При этом появляется составляющая силы вдоль оси x ($(\partial F_x / \partial y)_0 \neq 0$).

В цилиндрических полостях малой высоты дисковый ротор устойчив по отношению к отклонению оси диска от оси полости, так как α и $M_\theta \approx M_y$ имеют одинаковые знаки (варианты 1—8, 14 табл. 2). Одновременно появляются силы, стремящиеся отклонить ось диска в перпендикулярном к смещению направлении ($M_x \approx -\frac{1}{2}M_y$) и возбудить движение оси диска вокруг оси полости в направлении, противоположном вращению диска.

В цилиндрических полостях большой высоты уменьшается момент сил, стремящийся совместить ось ротора с осью полости (в табл. 2 значения $(\partial M_y / \partial \theta)_0$ не приведены для вариантов 9—13, так как точность вычислений, ограниченная затратами машинного времени, оказалась недостаточной даже для определения знака этой производной). Момент $M_x = (\partial M_x / \partial \theta)_0 \theta$ способствует возбуждению кругового движения оси диска типа прямой прецессии.

Авторы благодарят Ю. И. Неймарка и Г. Г. Денисова за полезные советы и обсуждение.



Фиг. 4

ЛИТЕРАТУРА

1. Гарбуз Г. А., Иванов В. П. Применение метода Монте-Карло к расчету течения сильно разреженного газа в системах с произвольной конфигурацией стенок. Изв. АН СССР, МЖГ, 1969, № 5.
2. Коган М. Н. Динамика разреженного газа. М., «Наука», 1967.
3. Ландау Л. Д., Лифшиц Е. М. Теоретическая физика, т. 1. Механика. М., «Наука», 1965.
4. Davis D. N. Monte-Carlo calculation of molecular flow rates through a cylindrical elbow and pipes of other shapes. J. Appl. Phys., 1960, vol. 31, No. 7, p. 1169.
5. Chubb J. N. Monte-Carlo calculation of molecular gas flow. Trans. 3rd Internat. Vacuum Congr., Stuttgart, 1965, vol. 2, pt 1; Oxford — London — Pergamon Press., 1967, pp. 97—103.
6. Иванов В. П., Неймарк Ю. И. Некоторые методы расчета стационарного движения разреженного газа. Изв. АН СССР, МЖГ, 1967, № 4.
7. Калашник Л. И., Кислов А. М., Лившиц Э. М. Расчет параметров криогенных вакуумных камер методом Монте-Карло. Инж.-физ. ж., 1967, т. 13, № 6.
8. Иванов В. П., Неймарк Ю. И. Расчет молекулярных насосов. Изв. АН СССР, МЖГ, 1968, № 3.
9. Богачева А. А., Перепухов В. А., Рухман Э. Е. Применение метода Монте-Карло к расчету аэродинамических характеристик тел сложной формы в свободно-молекулярном потоке. Ж. вычислит. матем. и матем. физ., 1968, т. 8, № 6.
10. Де Бур Я. Х. Динамический характер адсорбции. М., Изд-во иностр. лит., 1962.